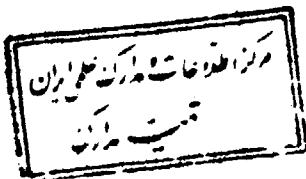


بِسْمِ اللَّهِ الرَّحْمَنِ الرَّحِيمِ

۲۹۷۷۹



# دانشگاه علم و صنعت ایران

۱۳۷۸ / ۷ / ۱۲

دانشکده مکانیک

بررسی تأثیر پارامترهای هندسی  
ربات بر عملکرد دینامیکی بهینه‌اش

مهندی آقاامینی

۱۴۲۰۵

پایان نامه برای دریافت درجه کارشناسی ارشد  
در رشته مهندسی مکانیک (گرایش طراحی کاربردی)

استاد راهنمای: دکتر مح� حبیب نژاد کورایم

۱۳۷۷ بهمن ۲۶۷۷۹

# **تقدیم به پدر و مادرم**

## چکیده

دینامیک بازوی مکانیکی دارای مشخصات ذاتی از قبیل غیرخطی بودن و کوپله بودن زیاد (بنابر تأثیر نیروهای اینرسی، جانب مرکزی، کوریولیس و جاذبه) می‌باشد. این مشخصات موجب پیدایش مشکلاتی در پیشگویی رفتار دینامیکی ساختمان بازوی مکانیکی داده شده، می‌شود. این نیروهای مؤثر بشدت به ساختار هندسی و شرایط کاری بازوی مکانیکی بستگی دارند. بنابراین، لازم است که برای رسیدن به طرح بهینه، رفتار دینامیکی ربات را تحت شرایط مختلف بررسی کرد. در این پژوهه مشخصه‌ای برای اندازه‌گیری عملکرد دینامیکی بازوی یک ربات نسبت به تغییرات پارامترهای هندسی آن، تعریف شده است. چون رفتار دینامیکی بازوی ربات به شدت به ترمehای اینرسی اش بستگی دارد، مشخصه عملکرد بصورت یکتابع لگاریتمی از حساسیت مقادیر ویژه ماتریس اینرسی نسبت به تغییرات پارامترهای هندسی ربات تعریف شده است. همچنین، چون ماتریس اینرسی تابعی از جابجایی مفصلی است، در این پژوهه، عملکرد نسبت به پارامترهای غیر صفر ربات صنعتی PUMA 560، در محدوده زوایای مفصلی بررسی شده است.

این پژوهه در ابتدا مروری بر سینماتیک و دینامیک ربات دارد و سپس روش‌های تولید مسیر بطور خلاصه توضیح داده می‌شود. در فصل پنجم و ششم که عمدتاً پژوهه در این رابطه می‌باشد، رفتار دینامیکی رباتهای SCARA و PUMA560 بررسی شده و نتایج آن بطور مبسوط توضیح داده شده است.

در خاتمه، برنامه کامپیوتری که به زبان (4) Visual Basic نوشته شده است، مبنای کار طراحی ربات می‌باشد که با توجه به اطلاعات ورودی، نمودارهای رفتار دینامیکی ربات در خروجی رسم می‌شود و در نتیجه طراح می‌تواند رفتار دینامیکی ربات را قبل از ساخت پیش‌بینی کند.

## فهرست علائم

$q_t$	موقعیت در لحظه $t$	$a$	طول لینک
$q_0$	موقعیت اولیه در $t=0$	$d$	فاصله مفصلی
$q_1$	موقعیت نهایی در $t=1$	$D_i$	کمیت اسکالار وابسته به جاذبه
$Tr$	عملگر مجموع عناصر قطر اصلی	$D_{ij}$	کمیت اسکالار وابسته به اینرسی
$T_p$	ماتریس تبدیل مختصات لینک $p$ به	$D_{ijk}$	کمیت اسکالار وابسته
مختصات پایه			به جانب مرکزی و کوریولیس
$\alpha$	زاویه پیچش لینک	$F_i$	بردار نیرو یا گشتاور مفصلی
$\lambda$	مقادیر ویژه ماتریس اینرسی	$J_p$	ماتریس اینرسی لینک $p$
$\gamma$	پارامتر هندسی ربات	$N$	تعداد مفاصل
$\mu$	نرم مقادیر ویژه	$q$	متغیر مفصلی
$\Gamma$	مشخصه عملکرد دینامیکی نسبت به $\gamma$	$\dot{q}$	سرعت مفصلی
$^T()$	ترانسپوز ماتریس ()	$\ddot{q}$	شتاب مفصلی

# فهرست مندرجات

صفحه

عنوان

## فصل اول - مقدمه

۱	۱. اهمیت موضوع پژوهش
۲	۲. موضوعات مورد بررسی
	۳. برخی از مشخصات رباتها
۲	۳.۱. تعداد محورها
۳	۳.۲. پارامترهای سینماتیکی

## فصل دوم - مروری بر سینماتیک ربات

۶	۱.۲. سینماتیک مستقیم
۶	۱.۱.۲. روش نام‌گذاری D-H
۹	۲.۱.۲. معادله بازو
۱۱	۲.۲. سینماتیک معکوس

## فصل سوم - مروری بر دینامیک بازو

۱۴	۱.۳. مقدمه
۱۵	۲.۳. روش لاگرانژ-اویلر
۱۵	۳.۳. روش نیوتن-اویلر
۱۶	۴. دینامیک مستقیم و معکوس

## فصل چهارم - روش‌های طراحی مسیر

۱۸.....	۱.۴. مقدمه
	۲.۴. انواع مسیرهای کاربردی
۱۹.....	۱.۲.۴. چند جمله‌ای‌ها
۲۱.....	۲.۲.۴. مسیر ذوزنقه‌ای
۲۱.....	۳.۲.۴. مسیر مستقیم الخط
۲۲.....	۴.۲.۴. مسیر کنترل عددی
۲۲.....	۳.۴. روش‌های طراحی مسیر پیوسته

## فصل پنجم - رفتار دینامیکی ربات تحت مسیرهای سرعت متفاوت

۲۵.....	۱.۰. مقدمه
۲۶.....	۲.۰. مسیرهای بکار رفته
۲۷.....	۳.۰. مطالعه رفتار دینامیکی
۲۷.....	۱.۳.۰. کاربرد اول
۲۷.....	۱.۱.۳.۰. پاسخ دو لینک اول
۳۰.....	۲.۱.۳.۰. پاسخ لینک سوم
۳۱.....	۲.۳.۰. کاربرد دوم
۳۳.....	۳.۳.۰. کاربرد سوم
۳۵.....	۴.۳.۰. کاربرد چهارم
۳۹.....	۵.۳.۰. کاربرد پنجم
۴۱.....	۴.۰. نتیجه گیری

۲.۶	دیاگرام شماتیک مسیر حرکت اول ربات برای $\Gamma_{\alpha_1}$	۴۸
۳.۶	عملکرد دینامیکی بر حسب $\alpha_1$ و زمان (مسیر اول)	۴۸
۴.۶	دیاگرام شماتیک مسیر حرکت دوم ربات برای $\Gamma_{\alpha_1}$	۵۰
۵.۶	عملکرد دینامیکی بر حسب $\alpha_1$ و زمان (مسیر دوم)	۵۱
۶.۶	دیاگرام شماتیک مسیر حرکت اول ربات برای $\Gamma_{\alpha_2}$	۵۲
۷.۶	عملکرد دینامیکی بر حسب $\alpha_2$ و زمان (مسیر اول)	۵۳
۸.۶	دیاگرام شماتیک مسیر حرکت دوم ربات برای $\Gamma_{\alpha_2}$	۵۴
۹.۶	عملکرد دینامیکی بر حسب $\alpha_2$ و زمان (مسیر دوم)	۵۵
۱۰.۶	عملکرد دینامیکی بر حسب $\alpha_3$ و زمان	۵۶
۱۱.۶	عملکرد دینامیکی بر حسب $\alpha_1$ و زمان	۵۷
۱.۷	فرم اصلی برنامه اول	۶۰
۲.۷	فرم مربوط به تنظیم داده های ربات	۶۲
۳.۷	فرم مربوط به بارگذاری	۶۲
۴.۷	فرم مربوط به بارگذاری (برای حالت خاص بارگذاری پیوسته)	۶۳
۵.۷	فرم مربوط به انتخاب مسیر	۶۴
۶.۷	فرم مربوط به فضای کارتزین	۶۵
۷.۷	انواع حالات بازو و آرنج	۶۵
۸.۷	فرم مربوط به منوی Help	۶۶
۹.۷	فرم اصلی برنامه دوم	۶۷
۱۰.۷	فرم مربوط به تنظیم داده های ربات PUMA	۶۷
۱۱.۷	فرم مربوط به تعیین شرایط مسئله	۶۸

---

جدول	عنوان	صفحه
۱.۱	محورهای بازوی ربات	۲
۲.۱	پارامترهای سینماتیکی	۴
۱.۲	تبدیل چارچوب (k-1) به چارچوب (k)	۱۰
۱.۶	پارامترهای هندسی سه لینک اول از PUMA560	۴۳
۲.۶	داده های مربوط به مسیر حرکت اول برای $\Gamma_{\alpha_1}$	۴۷
۳.۶	داده های مربوط به مسیر حرکت دوم برای $\Gamma_{\alpha_1}$	۴۹
۴.۶	داده های مربوط به مسیر حرکت اول برای $\Gamma_{\alpha_2}$	۵۲
۵.۶	داده های مربوط به مسیر حرکت دوم برای $\Gamma_{\alpha_2}$	۵۴

# فهرست تصاویر

عنوان	صفحه	شکل
۱.۱ زاویه مفصل و فاصله مفصل .....	۳	
۲.۱ طول لینک و زاویه پیچش لینک .....	۵	
۱.۲ چارچوبهای سیستم مختصات برای هر لینک بازوی ربات.....	۸	
۲.۲ تبدیل سیستم مختصات بین دو لینک مجاور.....	۹	
۳.۲ زوایای Yaw و Pitch و Roll .....	۱۲	
۴.۲ سینماتیک مستقیم و معکوس.....	۱۲	
۱.۳ روش فرمول بندی بازگشتی نیوتون-اویلر .....	۱۶	
۲.۳ دینامیک مستقیم و معکوس .....	۱۶	
۱.۴ مسیر چندجمله‌ای .....	۲۰	
۲.۴ مسیر ذوزنقه‌ای .....	۲۱	
۳.۴ مسیر Bang-Bang .....	۲۱	
۴.۴ مسیر NC2 .....	۲۳	
۱.۵ تصویر شماتیک ربات SCARA .....	۲۶	
۲.۵ رفتار دینامیکی هرسه لینک نسبت به مسیرهای افزایش سرعت چندجمله‌ای .....	۲۸	
۳.۵ رفتار دینامیکی هرسه لینک نسبت به مسیرهای افزایش سرعت NC2 .....	۲۹	
۴.۵ اثر کوپلینگ دینامیکی با کاربرد مسیر P-N-P .....	۳۲	
۵.۵ اثر کوپلینگ دینامیکی با کاربرد مسیر N-P-N .....	۳۲	
۶.۵ اثر موقعیتهای شروع و انتهای، (مورد اول) .....	۳۴	
۷.۵ اثر موقعیتهای شروع و انتهای، (مورد دوم) .....	۳۴	
۸.۵ اثر موقعیتهای شروع و انتهای، (مورد سوم) .....	۳۴	
۹.۵ داده مربوط به مثال کاربرد فضای کارتزین .....	۳۶	
۱۰.۵ بارگذاری .....	۳۶	
۱۱.۵ نمودارهای موقعیت .....	۳۷	
۱۲.۵ نمودارهای سرعت .....	۳۷	
۱۳.۵ نمودارهای شتاب .....	۳۸	
۱۴.۵ نمودارهای گشتاور .....	۳۸	
۱۵.۵ داده‌های مربوط به مثال بارگذاری .....	۳۹	
۱۶.۵ نمودارهای بارگذاری .....	۳۹	
۱۷.۵ نمودارهای گشتاور .....	۴۰	
۱.۷ دیاگرام شماتیک ربات PUMA560 .....	۴۳	

# فصل اول

## مقدمه

### ۱.۱. اهمیت موضوع پروژه

با توجه به تقاضای رو به فزونی استفاده از ربات‌های صنعتی، رقابت شدیدی در تولید آن وجود دارد. اما بعلت پیچیدگی روابط (غیر خطی و کوپله بودن زیاد)، یک طراح ربات به راحتی نمی‌تواند اثر تغییر در عملکر (مثلاً سرعت و یا ظرفیت بار) و یا تغییر در مشخصه‌های هندسی را در رفتار دینامیکی ربات پیش بینی کند. با توجه به هزینه بسیار سنگین ساخت ربات، پس بهتر است که قبل از ساخت دید کافی در رابطه با تجزیه و تحلیل مشخصه‌های دینامیکی بازوی ربات تحت شرایط عمل متفاوت به طراح ربات داده شود تا از اتلاف هزینه و وقت جلوگیری شود. برای روشن شدن موضوع کافی است یادآور شد که مثلاً برای یک بازوی ربات ۶ درجه آزادی، احتیاج به ۱۸ پارامتر هندسی، ۶۰ پارامتر جرم و ۱۲ پارامتر ترکیبی است و هزینه طراحی و ساخت هر ربات بالغ بر میلیونها دلار می‌گردد.

همچنین عوامل مؤثری (از قبیل دقت عمل، سرعت دورانی عمل، بارهای خارجی، ترکیب هندسی و ...) در طراحی ربات وجود دارند که لزوم آگاهی طراح از رفتار دینامیکی ربات را قبل از ساخت، روشن می‌سازد. پس ضرورت دارد که یک ابزار ریاضی و نرم افزار در رابطه با ربات تهیه و تدوین گردد که در ارتباط با ساخت یک ربات جدید، کارآمد باشد.

## ۲.۰. موضوعات مورد بررسی

در این پایان نامه موضوعات زیر مورد بررسی قرار می‌گیرد:

- ۱) مروری بر سینماتیک مستقیم و معکوس ربات
- ۲) مروری بر دینامیک ربات و روش‌های طراحی مسیر
- ۳) تجزیه و تحلیل رفتار دینامیکی ربات تحت مسیرهای سرعت مختلف، که با ۲ نوع مسیر NC2 و چند جمله‌ای در نظر گرفته شده است. همچنین کاربردها و نتایج این دو مسیر و نیز تلفیق این دو مسیر و مقایسه آنها با یکدیگر.
- ۴) اثر پارامترهای هندسی ربات PUMA560 بر عملکردهای دینامیکی بهینه‌اش.
- ۵) برای تجزیه و تحلیل رفتار دینامیکی بازوی ربات احتیاج به بسته نرم‌افزاری بود که با استفاده از زبان برنامه نویسی Visual Basic 4 این برنامه تهیه شده است.

## ۳.۰. برخی از مشخصات رباتها

### ۱.۳.۱. تعداد محورها

هر بازوی مکانیکی تعدادی محور دارد که لینکهایش حول آنها دوران می‌کند یا در طول آنها حرکت انتقالی انجام میدهد.

جدول (۱.۱) : AXES OF A ROBOTIC MANIPULATOR

Axes	Type	Function
1-3	Major	Position the wrist
4-6	Minor	Orient the tool
7-n	Redundant	Avoid obstacles

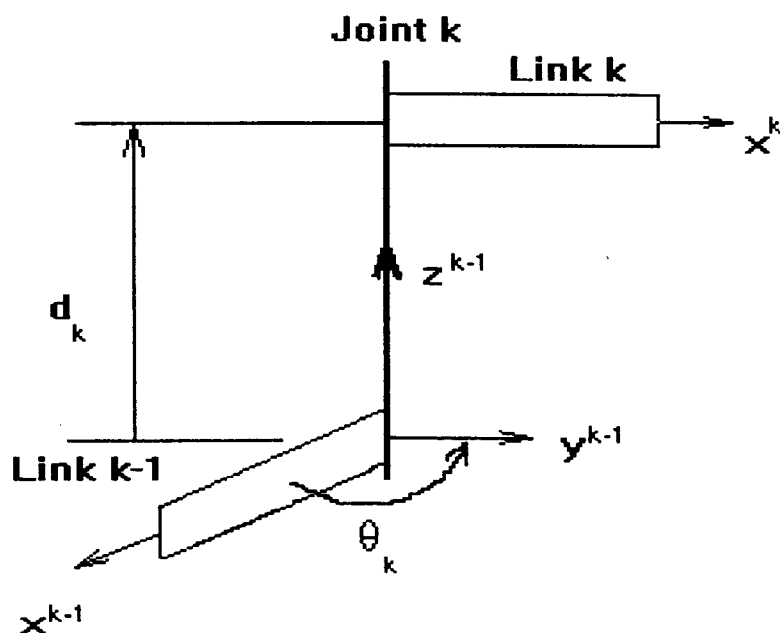
معمولأً سه محور اول، یا محورهای اصلی، برای تعیین موقعیت مچ بکار می‌روند، در حالیکه بقیه محورها برای تعیین جهتگیری ابزار یا پنجه (gripper) استفاده می‌شوند (جدول ۱.۱).

چون بازو های مکانیکی در فضای سه بعدی کار می کنند، بنابراین یک ربات شش محوری از این جهت که می تواند به هر موقعیت و جهتگیری دلخواهی در فضای کاری دسترسی داشته باشد، یک بازوی معمولی (general) می باشد.

مکانیزم باز کردن و بستن انگشتان ربات یا دیگر فعالیتهای ابزار به عنوان یک محور مستقل بحساب نمی آید، زیرا که نقشی در موقعیت و جهتگیری ابزار ایفاء نمی کند. ربات های صنعتی معمولاً شامل ۴ الی ۶ محور می باشند. البته ممکن است بعضی از ربات ها دارای بیشتر از ۶ محور باشند که در این صورت محور های اضافی برای جلوگیری از برخورد با مانع یا پرهیز از ساختار هندسی نامطلوب بازوی مکانیکی استفاده می شوند.

### ۲.۳.۱ پارامتر های سینماتیکی

هر دو لینک مجاور بوسیله مفصل دورانی (prismatic) یا منشوری (revolute) بهم متصل می شوند. موقعیت و جهتگیری نسبی دو لینک متواالی را می توان بوسیله پارامتر های مفصل (joint parameters) (joint parameters) بیان کرد، همان گونه که در شکل زیر نشان داده شده است.



شکل (۱.۱): زاویه مفصل  $\theta$  و فاصله مفصل  $d$

توجه کنید که مفصل  $k^{\text{ام}}$ ، لینک  $k^{\text{ام}}$  را به لینک  $k^{\text{ام}}-1$  متصل می‌کند. پارامترهای مفصل  $k^{\text{ام}}$  نسبت به محور  $x^{k-1}z^k$ ، که بر محور مفصل  $k^{\text{ام}}$  منطبق است، تعریف می‌شوند. اولین پارامتر مفصل، زاویه مفصل ( $\theta_k$ ) (joint angle) می‌باشد که آن زاویه‌ای است که  $x^{k-1}$  باید حول  $z^k$  دوران کند تا موازی  $x^k$  شود.

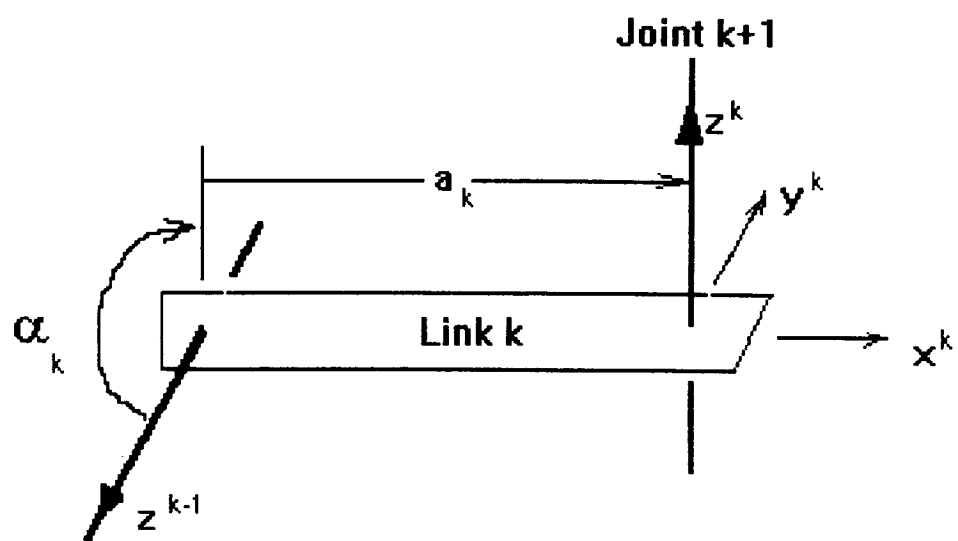
دومین پارامتر مفصل، فاصله مفصل (joint distance) ( $d_k$ )، که آن جابجایی در راستای  $x^{k-1}z^k$  می‌باشد تا  $x^k$  با  $x^{k-1}z^k$  متقاطع شود. در هر مفصل همواره یکی از این دو پارامتر، ثابت و دیگری متغیر می‌باشد، که این موضوع، همانطور که در جدول (۲.۱) نشان داده شده است، به نوع مفصل بستگی دارد.

جدول (۲.۱): KINEMATIC PARAMETERS

Arm Parameter	Symbol	Revolute Joint (R)	Prismatic Joint (P)
Joint angle	$\theta$	Variable	Fixed
Joint distance	$d$	Fixed	Variable
Link length	$a$	Fixed	Fixed
Link twist angle	$\alpha$	Fixed	Fixed

موقعیت و جهتگیری نسبی محورهای دو مفصل متوالی را می‌توان بوسیله پارامترهای لینک (Link parameters) (یان کرد، همان‌گونه که در شکل (۲.۱) نشان داده شده است. در این مورد، لینک  $k^{\text{ام}}$ ، مفصل  $k^{\text{ام}}$  را به مفصل  $k+1^{\text{ام}}$  متصل می‌کند. پارامترهای لینک  $k^{\text{ام}}$  نسبت به محور  $x^kz^k$ ، که عمود مشترک بین محور مفصل  $k$  و محور مفصل  $k+1$  است، تعریف می‌شوند. اولین پارامتر لینک، طول لینک (Link length) ( $a_k$ )، می‌باشد که آن جابجایی در راستای  $x^kz^k$  می‌باشد تا  $x^kz^k$  متقاطع شود.

دومین پارامتر لینک، زاویه پیچش لینک (Link twist angle) ( $\alpha_k$ )، می‌باشد که آن زاویه‌ای است که  $z^{k-1}z^k$  باید حول  $x^kz^k$  دوران کند تا موازی  $z^k$  شود.

**Joint k**

شکل (۲.۱): طول لینک  $a$  و زاویه پیچش لینک  $\alpha$

# فصل دوم

## مروری بر سینماتیک ربات

### ۱.۲. سینماتیک مستقیم

بازوی مکانیکی را می‌توان بصورت زنجیره‌ای از جسم‌های صلب که لینک نامیده می‌شوند، مدل کرد. لینکها توسط مفصلها به یکدیگر متصل می‌شوند. یک طرف این زنجیره به پایه ربات ثابت شده است و انتهای دیگر آن، که ابزار یا مجری نهایی نام دارد، برای حرکت آزاد است.

هدف کنترل موقعیت و جهتگیری ابزار در فضای سه بعدی می‌باشد. ابزار را می‌توان طوری برنامه ریزی کرد که مسیر خاصی را طی کند و در فضای کاری اش کار خاصی را انجام دهد. بمنظور برنامه ریزی حرکت ابزار ابتدا باید روابط بین متغیرهای مفصلی و موقعیت و جهتگیری ابزار را بدست آورد. این مسئله را سینماتیک مستقیم می‌نامند که به صورت زیر تعریف می‌شود:

**مسئله سینماتیک مستقیم:** بردار متغیرهای مفصلی بازوی یک ربات داده شده است، موقعیت و جهتگیری ابزار را نسبت به چارچوب مختصات پایه ربات تعیین کنید.

### ۱.۱.۲. روش نامگذاری دناویت-هارتبرگ (D-H)

در سال ۱۹۵۵ دناویت و هارتبرگ (Denavit & Hartenberg) یک روش نامگذاری